

九州大学 正員 太田俊昭
 学生員。藤岡健三
 学生員 早川和利

1. 考え方

著者らは、先に純ねじりモーメントをうける一様な太肉断面を持つ梁について、一連の数值解析を行ない、その塑性力学特性を明らかにしてきた。この方法を拡張すれば曲げとねじりの連成荷重をうける場合についても、弾塑性挙動の解明が可能であり、今回は特に正方形断面を有する直角曲り梁を例にとり、数值計算による検討を試みた。

2. 解析理論

図-1に示す太肉断面の梁が、曲げモーメントMとねじりモーメントTをうける場合を想定する。すすねじりせん断応力では、応力関数を用いて、

$$\bar{\epsilon}_x = -\frac{\partial \psi}{\partial x}, \quad \bar{\epsilon}_y = \frac{\partial \psi}{\partial y} \quad \dots \dots (1)$$

また、ねじれ率 $\dot{\omega}$ と重との関係は、Reissner式 ($\bar{\epsilon}_x = G\dot{\omega}_x - 2\dot{\epsilon}_x G_i$, $\dot{\epsilon}_y = G\dot{\omega}_y - 2\dot{\epsilon}_y G_i$)より、 G ; せん断弾性係数として

$$-\dot{\psi}_x = 2G\dot{\omega}_x - 2G\left\{\frac{\partial}{\partial x}(\dot{\epsilon}_y i) - \frac{\partial}{\partial y}(\dot{\epsilon}_x i)\right\} \quad \dots \dots (2)$$

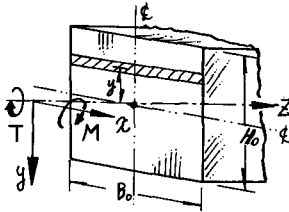


図-1

よって、式(2)を差分表示に直し、Matrix表示すれば、右辺オフ項をMatrix Cで示すことにより、

$$A\dot{\psi} = 2H_0^2GB\dot{\omega} + C \quad \dots \dots (3)$$

さらにねじりモーメントは文献より $\dot{\psi} = 2B_0H_0\dot{M}$ $\dots \dots (4)$

一方、曲げについては、Reissner式より重直応力 $\sigma = E\dot{\epsilon} - 2G\dot{\omega}E\dot{\epsilon}$ として断面の対称性を考慮し、yをx軸からの距離とすれば、Eをヤング率として、

$$M = \int \sigma y dA = E \int \dot{\epsilon} y dA + M_P \quad (\text{ただし } M_P = -\frac{2}{3} \int \sigma E \dot{\omega} y dA) \quad \dots \dots (5)$$

又、曲率 $\dot{\psi}$ は $\dot{\psi} = \dot{\epsilon}_{\text{下端}} / (H_0/2)$ $\dots \dots (6)$

したがって式中の M_P は、Mises式を降伏条件として使用することにより、 σ_c ; 相当応力、 σ_y ; 降伏応力として、硬化係数 H' も導入した形で次のように求められる。(ただし σ_c, σ_y ; 工学定義のせん断ひずみ)

$$\dot{\psi} = \frac{3\sigma_c^2/2G_e^2 \{ \sigma_c \dot{\epsilon} + 3G/E^2 (\dot{\epsilon}_x \dot{\epsilon}_x + \dot{\epsilon}_y \dot{\epsilon}_y) \}}{H' + \sigma_y^2/G_e^2 \{ \dot{\epsilon}^2 + 9G/E (\dot{\epsilon}_x^2 + \dot{\epsilon}_y^2)/\dot{\epsilon}^2 \}} \quad \dots \dots (7)$$

3. 解析例

図-2に示すような諸量を有する正方形($1.0\text{cm} \times 1.0\text{cm}$)前面片持梁を考える。断面を 10×10 に分割し、はりは長さ方向に13分割する。この時節点1~4は曲げだけを受け、節点5~8は曲げとねじりの連成をうけることになる。

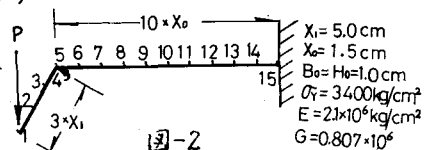


図-2

接れ率 ψ_{ij} とねじりモーメント T_{ij} の関係を図-4に示す。図-5は15節点の $M/M_c - \psi_{ij}$ の関係であり、

図-6は $P=0.93P_c$ の時の応力関数の分布を示し、図-7, 図-8は、それぞれ $\dot{\epsilon}_x, \dot{\epsilon}_y$ の分布であり、さらに図-9は相当応力分布である。また図-10は、節点15の断面の周辺中央部における相当応力-相当ひずみ曲線である。

一方図-11は、荷重とたわみ曲線である。断面の都合上、説明を割愛したが、詳細は当日発表する。

4. 計算結果

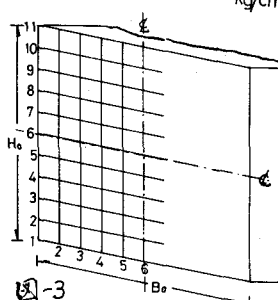
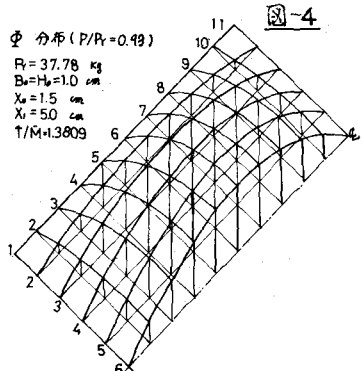
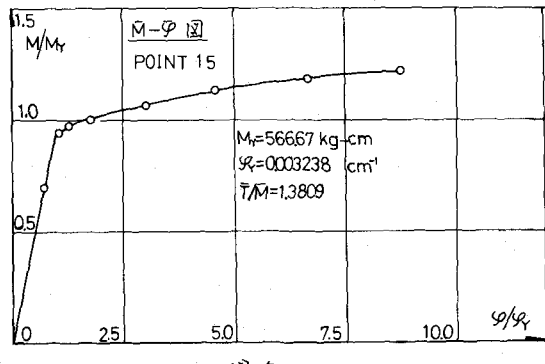
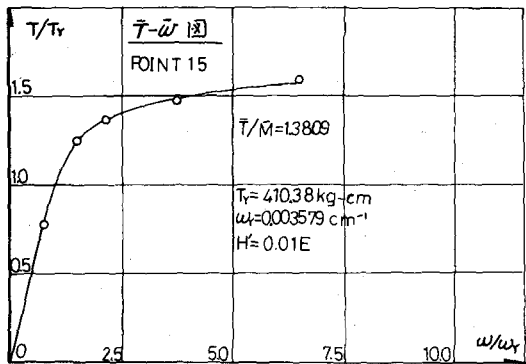
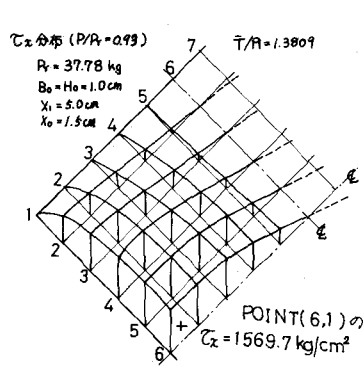


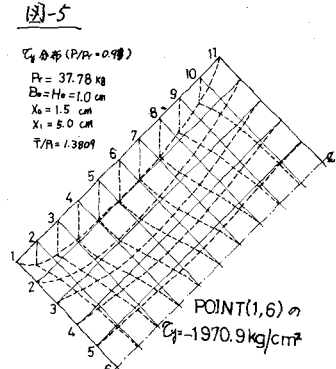
図-3



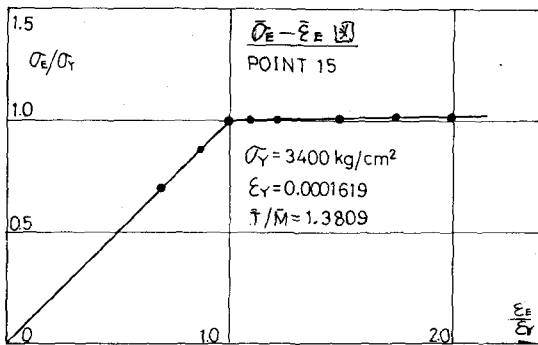
(4)-6



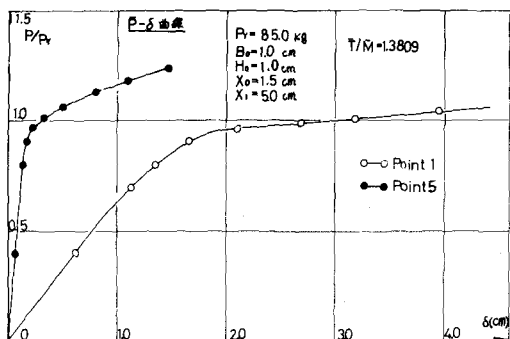
(4)-7



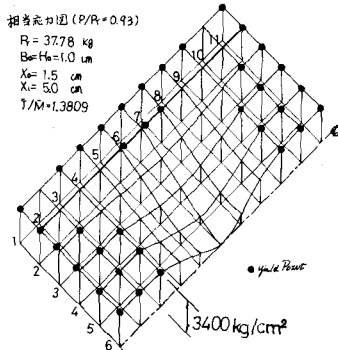
(4)-8



(4)-9



(4)-11



(4)-10

参考文献

- 1) 藤岡, 大田 ; 鋼部材のねじり挙動に及ぼす硬化現象の効果について (昭和51年第3回年次学術講演会講演集)
- 2) Toshiaki Ohta ; Elasto-Plastic Torsional Analysis of Uniform Bars, Transactions of JSCE, vol. 4, P24, 1972